TROY TECHNICAL

マテリアルインフォマティクス
ウィークリーレポート

2026年11月8日-11月14日 | Issue 2026-W45

データ品質から実験検証まで閉じた学習ループ

12	10
分析対象	重点テーマ

発行 2026-11-14 | 日本語版 | 承認済み固定表紙



マテリアルインフォマティクス:個別発表から認定証拠へ境界が移動

日本語記事12件を棚卸しし、意思決定に重要なテーマを選定した。

シグナル 01 | データ取得

MLP Copilot|AIエージェントによるナノ粒子原子モデリングの効率化と検証手法

東北大学WPI-AIMRの研究チームが、人間とAIエージェントが協調して原子間相互作用のモデリングを効率化するフレームワーク「MLP Copilot」を開発しました。量子計算から得たエネルギーと力を学習し、約80回の能動学習サイクルを通じて88,833個の原子構成を収集することで、アルミニウムナノ粒子の酸化シミュレーションを実現しています。この手法は材料探索を大幅に加速させ、物理的な新知見の獲得と再利用可能な研究サイクルの構築を可能にします。

シグナル 02 | モデル化

アセチレンのエチレン水素化|Pd触媒の850°Cにおける活性部位と性能

Pd(パラジウム)触媒を用いた850°Cという高温下でのアセチレンからエチレンへの選択的水素化において、Pd(100)様の4回空孔サイト(4-fold hollow sites)が鍵となる活性部位であることを突き止めた。クリストバライト担持Pd触媒は、約3.0 × 103 µmol-C g cat-1 h-1という高い炭化水素生成率と、低いコーク生成および無視できるレベルの失活を示した。

シグナル 03 | 候補設計

DFTデータ統合|グラフニューラルネットワークによる形成エネルギーの整合化手法

グラフベースの転移学習を用いて、異なる密度汎関数理論(DFT)計算間で生じる形成エネルギーの系統的な誤差を解消する手法が開発されました。GPTFFモデルを採用し、PBE計算によるエネルギーをr2SCANレベルの精度に変換したところ、平均絶対誤差(MAE)14.3 meV/atomを達成しています。これにより、膨大な既存のPBEデータセットを高精度なr2SCAN標準へアップグレードし、材料AIモデルの規模と品質を大幅に向上させることが可能になります。

シグナル 04 | 実験

ガラス形成メカニズム|MLとSHAPを用いた共有・イオン・金属系の共通原理と設計手法

共有結合、イオン結合、金属結合の異なるネットワークを横断し、ガラス形成の普遍的かつシステム固有の物理化学的フレームワークが構築されました。成功例に偏らない78,889件の組成データを用いたXGBoostモデルにより、89.6%の分類精度を達成し、組成の不均一性がアモルファス状態を安定化させる「フラストレーション反転」という現象を定量的に明らかにしました。これにより、材料系を問わず機能性ガラスを設計するためのデータ駆動型アプローチが確立されました。

編集判断

今週の経営判断は データ品質から実験検証まで閉じた学習ループ に集中する。自社条件で関連証拠を再現できる場合だけ次へ進む。

経営の3アクション

1. 事業会社: 価値の高い意思決定を選び、データ来歴と実験フィードバックを測る.
2. 供給企業: 組成、工程、試験条件、不確実性、失敗データを機械可読で提供する.
3. 経営層: データ偏り、再現性、知財、モデル転移、実験費、採用.

証拠の読み方

FACTは収集記事に書かれた内容、事業への読みとACTIONは編集判断、UNKNOWNは記事だけでは確定しない項目を示す。リンク先があることだけで、全主張が独立検証済みとは扱わない。

条件と一緒に読む主要数値・証拠

889件
A07

数値の条件
共有結合、イオン結合、金属結合の異なるネットワークを横断し、ガラス形成の普遍的かつシステム固有の物理化学的フレームワークが構築されました。成功例に偏らない78,889件の組成データを用いたXGBoostモデルにより、89.6%の分類精度を達成し、組成の不均一性がアモルファス状態を安定化させる「フラストレーション反転」という現象を定量的に明らかにしました。

2.0%
A04

数値の条件
等変拡散モデルを用いて、近端分光データ(ELNES/XANES)からサイト固有の3D原子構造分布を直接生成する手法が開発されました。Si-O結晶で訓練した結果、結合距離の平均絶対誤差(MAE)は約0.04 ÅとEXAFSに匹敵し、配位数精度では誤差2.0%未満とEXAFS(約20%)を大幅に上回る性能を達成しています。これにより、従来の1次元的な径方向分布解析の限界を越え、結合角を含む完全な3D幾何構造の再構築が可能になります。

1万
A12

数値の条件
OpenAIとMolecule.oneが、AIモデルと自動化実験システムを統合した「AI科学者」により、医薬品合成におけるChan-Lamカップリング反応の収率向上に成功しました。GPT-5.4による仮説立案と自動化プラットフォーム「Maria」による1万件超の自律実験を組み合わせ、約3カ月で課題を解決しています。物理的な実験を伴う科学研究の自律化が進むことで、創薬プロセスの劇的な加速が期待されます。

17件
A10

数値の条件
機械学習を用いて金属スクラップに含まれる不純物を積極的に活用し、高性能な合金を設計する新しいフレームワークが開発されました。ダクタイル鋳鉄を用いた検証では、17件の設計案のうち14件で強度と延性の最適な組み合わせを実現し、製造コストを8.1%削減することに成功しています。これにより、バージン材への依存を減らしつつ、環境負荷の低い持続可能な金属リサイクルが可能になります。

218 MW
A02

数値の条件
ラテラルMoSe2/MoS2ヘテロ構造において、界面の配向によって界面熱伝導率(ITC)が変化することが明らかになりました。室温において、アームチェア配向のITCは218 MW/m2•Kであり、ジグザグ配向の188 MW/m2•Kよりも高い値を示しています。この結果は、界面配向を制御することで次世代ナノ電子・光電子デバイスの熱放散を最適化できる可能性を示唆しています。

数値の読み方
数値は収集記事が示した条件と一緒に掲載する。試験法、寸法、温度、商用段階が異なる値を、条件補正なしで比較しない。

バリューチェーンはどこで動いたか

各段階に主テーマと補助テーマを接続する。矢印は装飾ではなく、次工程へ渡す証拠を示す。

1

データ取得

P01/P06

東北大学WPI-AIMRの研究チームが、人間とAIエージェントが協調して原子間相互作用のモデリングを効率化するフレームワーク「MLP Copilot」を開発しました。

2

モデル化

P02/P07

Pd(パラジウム)触媒を用いた850°Cという高温下でのアセチレンからエチレンへの選択的水素化において、Pd(100)様の4回空孔サイト(4-fold hollow sites)が鍵となる活性部位であることを突き止めた。

3

候補設計

P03/P08

グラフベースの転移学習を用いて、異なる密度汎関数理論(DFT)計算間で生じる形成エネルギーの系統的な誤差を解消する手法が開発されました。

4

実験

P04/P09

共有結合、イオン結合、金属結合の異なるネットワークを横断し、ガラス形成の普遍的かつシステム固有の物理化学的フレームワークが構築されました。成功例に偏らない78,889件の組成データを用いたXGBoostモデルにより、89.

5

量産・統制

P05/P10

等変拡散モデルを用いて、近端分光データ(ELNES/XANES)からサイト固有の3D原子構造分布を直接生成する手法が開発されました。Si-O結晶で訓練した結果、結合距離の平均絶対誤差(MAE)は約0.

各受渡しで必要な証拠

データ取得 → モデル化	試験条件、受入基準、故障データ、担当、判断日を渡し、再確認する: データ偏り、再現性、知財、モデル転移、実験費、採用.
モデル化 → 候補設計	試験条件、受入基準、故障データ、担当、判断日を渡し、再確認する: データ偏り、再現性、知財、モデル転移、実験費、採用.
候補設計 → 実験	試験条件、受入基準、故障データ、担当、判断日を渡し、再確認する: データ偏り、再現性、知財、モデル転移、実験費、採用.
実験 → 量産・統制	試験条件、受入基準、故障データ、担当、判断日を渡し、再確認する: データ偏り、再現性、知財、モデル転移、実験費、採用.

共通管理点

担当者が関連証拠を再現し、次を記録するまで商用判断へ進めない: データ偏り、再現性、知財、モデル転移、実験費、採用.

プライオリティマップ:実装成熟度と次の判断場所



P01	MLP Copilot|AIエージェントによるナノ粒子原子モデリングの効率化と検証手法 技術・工程 | 根拠: 統合・事業語なし
P02	アセチレンのエチレン水素化|Pd触媒の850°Cにおける活性部位と性能 技術・工程 | 根拠: 統合・事業語なし
P03	DFTデータ統合|グラフニューラルネットワークによる形成エネルギーの整合化手法 システム・導入 | 根拠: 統合
P04	ガラス形成メカニズム|MLとSHAPを用いた共有・イオン・金属系の共通原理と設計手法 システム・導入 | 根拠: システム
P05	等変拡散モデル|分光データから3D原子構造を推定する手法の性能と精度 技術・工程 | 根拠: 統合・事業語なし
P06	GPT-5.4|OpenAIとMolecule.oneによる医薬品合成の収率改善と自律実験の成果 システム・導入 | 根拠: システム
P07	金属リサイクルAI|不純物を活用し高性能合金を設計する新手法とコスト削減効果 技術・工程 | 根拠: 統合・事業語なし
P08	高エントロピー炭化物|MACE-MP-0による熱力学的応答と炭素拡散の解析 技術・工程 | 根拠: 統合・事業語なし
P09	WorldParticle|砂からタンパク質まで統合シミュレーションするAIモデルの性能 システム・導入 | 根拠: 統合
P10	MoSe2/MoS2ヘテロ構造|界面配向による熱伝導率の違いと制御手法 技術・工程 | 根拠: 統合・事業語なし

再現可能な配置ルール
横軸は研究・試作・共同評価・製品採用・量産の5段階。縦の帯は次の判断場所を技術・工程、システム・導入、事業・制度・供給に分ける。まず記事見出しの根拠語を使い、見出しで判断できない場合だけ概要を参照する。上下は影響の大小を意味しない。円径は編集スコアを示す。

FACTは収集記事に接続し、事業への読み、ACTION、UNKNOWNは編集判断として分離する。

P01 MLP Copilot|AIエージェントによるナノ粒子原子モデリングの効率化と検証手法

A11 | データ取得 | 共同評価

2026-11-09

FACT

東北大学WPI-AIMRの研究チームが、人間とAIエージェントが協調して原子間相互作用のモデリングを効率化するフレームワーク「MLP Copilot」を開発しました。量子計算から得たエネルギーと力を学習し、約80回の能動学習サイクルを通じて88,833個の原子構成を収集することで、アルミニウムナノ粒子の酸化シミュレーションを実現しています。この手法は材料探索を大幅に加速させ、物理的な新知見の獲得と再利用可能な研究サイクルの構築を可能にします。

なぜ重要か

判断上の焦点は「データ品質から実験検証まで閉じた学習ループ」である。見出しだけで採用せず、用途と運用条件で再現できるかを確認する。

事業への読み

事業会社は現在の認定・調達・製品ロードマップへの影響を比較する。材料・装置・技術企業は、組成、工程、試験条件、不確実性、失敗データを機械可読で提供する。

ACTION

30日以内に、価値の高い意思決定を選び、データ来歴と実験フィードバックを測る。結果と担当者をP01の評価票へ記録する。

UNKNOWN

記事だけでは確定しない項目: データ偏り、再現性、知財、モデル転移、実験費、採用。

編集スコア 19/25 | 成熟度 3/5 | 判断場所: 技術・工程

P02 アセチレンのエチレン水素化|Pd触媒の850°Cにおける活性部位と性能

A01 | モデル化 | 研究

2026-11-13

FACT

Pd(パラジウム)触媒を用いた850°Cという高温下でのアセチレンからエチレンへの選択的水素化において、Pd(100)様の4回空孔サイト(4-fold hollow sites)が鍵となる活性部位であることを突き止めた。クリストバライト担持Pd触媒は、約3.0 × 103 µmol-C g cat-1 h-1という高い炭化水素生成率と、低いコーク生成および無視できるレベルの失活を示した。この成果は、直接非酸化メタン変換(DNMC)後の後段工程において、中間冷却や再加熱をせずにアップグレーディングを可能にする潜在的な手法となる。

なぜ重要か

判断上の焦点は「データ品質から実験検証まで閉じた学習ループ」である。見出しだけで採用せず、用途と運用条件で再現できるかを確認する。

事業への読み

事業会社は現在の認定・調達・製品ロードマップへの影響を比較する。材料・装置・技術企業は、組成、工程、試験条件、不確実性、失敗データを機械可読で提供する。

ACTION

30日以内に、価値の高い意思決定を選び、データ来歴と実験フィードバックを測る。結果と担当者をP02の評価票へ記録する。

UNKNOWN

記事だけでは確定しない項目: データ偏り、再現性、知財、モデル転移、実験費、採用。

編集スコア 18/25 | 成熟度 1/5 | 判断場所: 技術・工程

FACTは収集記事に接続し、事業への読み、ACTION、UNKNOWNは編集判断として分離する。

P03 DFTデータ統合|グラフニューラルネットワークによる形成エネルギーの整合化手法

A05 | 候補設計 | 製品採用

2026-11-10

FACT

グラフベースの転移学習を用いて、異なる密度汎関数理論(DFT)計算間で生じる形成エネルギーの系統的な誤差を解消する手法が開発されました。GPTFFモデルを採用し、PBE計算によるエネルギーをr2SCANレベルの精度に変換したところ、平均絶対誤差(MAE)14.3 meV/atomを達成しています。これにより、膨大な既存のPBEデータセットを高精度なr2SCAN標準へアップグレードし、材料AIモデルの規模と品質を大幅に向上させることが可能になります。

なぜ重要か

判断上の焦点は「データ品質から実験検証まで閉じた学習ループ」である。見出しだけで採用せず、用途と運用条件で再現できるかを確認する。

事業への読み

事業会社は現在の認定・調達・製品ロードマップへの影響を比較する。材料・装置・技術企業は、組成、工程、試験条件、不確実性、失敗データを機械可読で提供する。

ACTION

30日以内に、価値の高い意思決定を選び、データ来歴と実験フィードバックを測る。結果と担当者をP03の評価票へ記録する。

UNKNOWN

記事だけでは確定しない項目: データ偏り、再現性、知財、モデル転移、実験費、採用。

編集スコア 18/25 | 成熟度 4/5 | 判断場所: システム・導入

P04 ガラス形成メカニズム|MLとSHAPを用いた共有・イオン・金属系の共通原理と設計手法

A07 | 実験 | 研究

先行発表 2026-11-06

FACT

共有結合、イオン結合、金属結合の異なるネットワークを横断し、ガラス形成の普遍的かつシステム固有の物理化学的フレームワークが構築されました。成功例に偏らない78,889件の組成データを用いたXGBoostモデルにより、89.6%の分類精度を達成し、組成の不均一性がアモルファス状態を安定化させる「フラストレーション反転」という現象を定量的に明らかにしました。これにより、材料系を問わず機能性ガラスを設計するためのデータ駆動型アプローチが確立されました。

なぜ重要か

判断上の焦点は「データ品質から実験検証まで閉じた学習ループ」である。見出しだけで採用せず、用途と運用条件で再現できるかを確認する。

事業への読み

事業会社は現在の認定・調達・製品ロードマップへの影響を比較する。材料・装置・技術企業は、組成、工程、試験条件、不確実性、失敗データを機械可読で提供する。

ACTION

30日以内に、価値の高い意思決定を選び、データ来歴と実験フィードバックを測る。結果と担当者をP04の評価票へ記録する。

UNKNOWN

記事だけでは確定しない項目: データ偏り、再現性、知財、モデル転移、実験費、採用。

編集スコア 18/25 | 成熟度 1/5 | 判断場所: システム・導入

FACTは収集記事に接続し、事業への読み、ACTION、UNKNOWNは編集判断として分離する。

P05 等変拡散モデル|分光データから3D原子構造を推定する手法の性能と精度

A04 | 量産・統制 | 試作

2026-11-12

FACT

等変拡散モデルを用いて、近端分光データ(ELNES/XANES)からサイト固有の3D原子構造分布を直接生成する手法が開発されました。Si-O結晶で訓練した結果、結合距離の平均絶対誤差(MAE)は約0.04 ÅとEXAFSに匹敵し、配位数精度では誤差2.0%未満とEXAFS(約20%)を大幅に上回る性能を達成しています。これにより、従来の1次元的な径方向分布解析の限界を越え、結合角を含む完全な3D幾何構造の再構築が可能になります。

なぜ重要か

判断上の焦点は「データ品質から実験検証まで閉じた学習ループ」である。見出しだけで採用せず、用途と運用条件で再現できるかを確認する。

事業への読み

事業会社は現在の認定・調達・製品ロードマップへの影響を比較する。材料・装置・技術企業は、組成、工程、試験条件、不確実性、失敗データを機械可読で提供する。

ACTION

30日以内に、価値の高い意思決定を選び、データ来歴と実験フィードバックを測る。結果と担当者をP05の評価票へ記録する。

UNKNOWN

記事だけでは確定しない項目: データ偏り、再現性、知財、モデル転移、実験費、採用。

編集スコア 18/25 | 成熟度 2/5 | 判断場所: 技術・工程

P06 GPT-5.4|OpenAIとMolecule.oneによる医薬品合成の収率改善と自律実験の成果

A12 | データ取得 | 試作

2026-11-12

FACT

OpenAIとMolecule.oneが、AIモデルと自動化実験システムを統合した「AI科学者」により、医薬品合成におけるChan-Lamカップリング反応の収率向上に成功しました。GPT-5.4による仮説立案と自動化プラットフォーム「Maria」による1万件超の自律実験を組み合わせ、約3カ月で課題を解決しています。物理的な実験を伴う科学研究の自律化が進むことで、創薬プロセスの劇的な加速が期待されます。

なぜ重要か

判断上の焦点は「データ品質から実験検証まで閉じた学習ループ」である。見出しだけで採用せず、用途と運用条件で再現できるかを確認する。

事業への読み

事業会社は現在の認定・調達・製品ロードマップへの影響を比較する。材料・装置・技術企業は、組成、工程、試験条件、不確実性、失敗データを機械可読で提供する。

ACTION

30日以内に、価値の高い意思決定を選び、データ来歴と実験フィードバックを測る。結果と担当者をP06の評価票へ記録する。

UNKNOWN

記事だけでは確定しない項目: データ偏り、再現性、知財、モデル転移、実験費、採用。

編集スコア 18/25 | 成熟度 2/5 | 判断場所: システム・導入

FACTは収集記事に接続し、事業への読み、ACTION、UNKNOWNは編集判断として分離する。

P07 金属リサイクルAI|不純物を活用し高性能合金を設計する新手法とコスト削減効果

A10 | モデル化 | 試作

2026-11-10

FACT

機械学習を用いて金属スクラップに含まれる不純物を積極的に活用し、高性能な合金を設計する新しいフレームワークが開発されました。ダクタイル鋳鉄を用いた検証では、17件の設計案のうち14件で強度と延性の最適な組み合わせを実現し、製造コストを8.1%削減することに成功しています。これにより、バージン材への依存を減らしつつ、環境負荷の低い持続可能な金属リサイクルが可能になります。

なぜ重要か

判断上の焦点は「データ品質から実験検証まで閉じた学習ループ」である。見出しだけで採用せず、用途と運用条件で再現できるかを確認する。

事業への読み

事業会社は現在の認定・調達・製品ロードマップへの影響を比較する。材料・装置・技術企業は、組成、工程、試験条件、不確実性、失敗データを機械可読で提供する。

ACTION

30日以内に、価値の高い意思決定を選び、データ来歴と実験フィードバックを測る。結果と担当者をP07の評価票へ記録する。

UNKNOWN

記事だけでは確定しない項目: データ偏り、再現性、知財、モデル転移、実験費、採用。

編集スコア 18/25 | 成熟度 2/5 | 判断場所: 技術・工程

P08 高エントロピー炭化物|MACE-MP-0による熱力学的応答と炭素拡散の解析

A03 | 候補設計 | 試作

2026-11-12

FACT

高エントロピー炭化物(Hf,Zr,Ta,Nb,Ti)Cにおける化学的無秩序が、熱機械的応答や炭素輸送に与える影響が解析されました。MACE-MP-0ポテンシャルを用いた検証により、熱膨張はほぼ加算的である一方、弾性軟化はモード選択的に起こることが判明しました。本研究は、静的な障壁アンサンブルだけでは有限濃度の炭素輸送を十分に解釈できないことを示しています。

なぜ重要か

判断上の焦点は「データ品質から実験検証まで閉じた学習ループ」である。見出しだけで採用せず、用途と運用条件で再現できるかを確認する。

事業への読み

事業会社は現在の認定・調達・製品ロードマップへの影響を比較する。材料・装置・技術企業は、組成、工程、試験条件、不確実性、失敗データを機械可読で提供する。

ACTION

30日以内に、価値の高い意思決定を選び、データ来歴と実験フィードバックを測る。結果と担当者をP08の評価票へ記録する。

UNKNOWN

記事だけでは確定しない項目: データ偏り、再現性、知財、モデル転移、実験費、採用。

編集スコア 18/25 | 成熟度 2/5 | 判断場所: 技術・工程

FACTは収集記事に接続し、事業への読み、ACTION、UNKNOWNは編集判断として分離する。

P09 WorldParticle|砂からタンパク質まで統合シミュレーションするAIモデルの性能

A09 | 実験 | 試作

2026-11-14

FACT

MITとブリティッシュコロンビア大学などの研究チームが、多様な物理現象を単一のアーキテクチャでモデル化できる深層学習システム「WorldParticle」を開発した。粒子を離散的な点として追跡することで、砂の崩落からタンパク質の折り畳みまでを同一フレームワークでシミュレーション可能にする。これにより、従来は物理現象ごとに個別の専用ソルバーを使い分ける必要があった断片的な手法を統合し、計算速度の劇的な向上を実現した。

なぜ重要か

判断上の焦点は「データ品質から実験検証まで閉じた学習ループ」である。見出しだけで採用せず、用途と運用条件で再現できるかを確認する。

事業への読み

事業会社は現在の認定・調達・製品ロードマップへの影響を比較する。材料・装置・技術企業は、組成、工程、試験条件、不確実性、失敗データを機械可読で提供する。

ACTION

30日以内に、価値の高い意思決定を選び、データ来歴と実験フィードバックを測る。結果と担当者をP09の評価票へ記録する。

UNKNOWN

記事だけでは確定しない項目: データ偏り、再現性、知財、モデル転移、実験費、採用。

編集スコア 18/25 | 成熟度 2/5 | 判断場所: システム・導入

P10 MoSe2/MoS2ヘテロ構造|界面配向による熱伝導率の違いと制御手法

A02 | 量産・統制 | 研究

2026-11-10

FACT

ラテラルMoSe2/MoS2ヘテロ構造において、界面の配向によって界面熱伝導率(ITC)が変化することが明らかになりました。室温において、アームチェア配向のITCは218 MW/m2•Kであり、ジグザグ配向の188 MW/m2•Kよりも高い値を示しています。この結果は、界面配向を制御することで次世代ナノ電子・光電子デバイスの熱放散を最適化できる可能性を示唆しています。

なぜ重要か

判断上の焦点は「データ品質から実験検証まで閉じた学習ループ」である。見出しだけで採用せず、用途と運用条件で再現できるかを確認する。

事業への読み

事業会社は現在の認定・調達・製品ロードマップへの影響を比較する。材料・装置・技術企業は、組成、工程、試験条件、不確実性、失敗データを機械可読で提供する。

ACTION

30日以内に、価値の高い意思決定を選び、データ来歴と実験フィードバックを測る。結果と担当者をP10の評価票へ記録する。

UNKNOWN

記事だけでは確定しない項目: データ偏り、再現性、知財、モデル転移、実験費、採用。

編集スコア 18/25 | 成熟度 1/5 | 判断場所: 技術・工程

関係者別プレイブックと0-5年ロードマップ

関係者	NOW | 0-30日	NEXT | 1-12か月	LATER | 1-5年
事業会社	価値の高い意思決定を選び、データ来歴と実験フィードバックを測る	量産相当条件で受入基準と停止基準を明示して評価する。	技術・供給者の変更を吸収できるポートフォリオと設計へ移る。
材料・装置・技術企業	組成、工程、試験条件、不確実性、失敗データを機械可読で提供する	顧客と信頼性・工程窓・故障解析の共通データを作る。	界面、履歴、ライフサイクル支援、回収サービスを標準化する。
商社・投資・法務	Map データ偏り、再現性、知財、モデル転移、実験費、採用.	能力、品質、変更通知、責任、代替、撤退を契約へ入れる。	地域・技術・顧客の集中リスクを分散する。

ロードマップ

NOW | 0-30日
証拠台帳
担当: Strategy + quality
成果物: claim, source, condition, owner

NOW | 0-30日
リスク選別
担当: Procurement + legal
成果物: unknowns, alternatives, stop

NEXT | 1-12か月
共同認定
担当: R&D + supplier
成果物: 工程窓・故障データ

NEXT | 1-12か月
商用ゲート
担当: Business + finance
成果物: 単位採算・供給能力

LATER | 1-5年
プラットフォーム戦略
担当: 経営
成果物: ポートフォリオ・界面ロードマップ

LATER | 1-5年
サービス層
担当: Operations + channel
成果物: 監視・保守・回復

Go / No-Goゲート

ゲート	担当	必要な証拠	中止条件
G1 証拠	品質	出典・試験条件・再現性	追跡可能な証拠なし
G2 統合	研究開発	界面・工程窓・故障解析	システム条件を満たさない
G3 商用	事業	能力・総原価・契約・代替	採算または供給が成立しない
G4 運用	運用	監視・保守・変更通知・撤退	責任ある運用計画なし

分析対象記事 | 01-12件目

全記事の正式タイトルと元記事URLを省略せず表示する。URLは折返しても全文を保持し、クリックできる。

ID	記事タイトル(全文)	元記事URL(全文・クリック可能)
A01	アセチレンのエチレン水素化|Pd触媒の850°Cにおける活性部位と性能	https://doi.org/10.21203/rs.3.rs-11376353/v1
A02	MoSe2/MoS2ヘテロ構造|界面配向による熱伝導率の違いと制御手法	https://doi.org/10.1088/1361-648x/aec07d
A03	高エントロピー炭化物|MACE-MP-0による熱力学的応答と炭素拡散の解析	https://doi.org/10.1088/1361-648x/aec1af
A04	等変拡散モデル|分光データから3D原子構造を推定する手法の性能と精度	https://www.nature.com/articles/s41524-026-02384-4
A05	DFTデータ統合|グラフニューラルネットワークによる形成エネルギーの整合化手法	https://www.nature.com/articles/s41524-026-02366-6
A06	アモルファス合金負極|Li拡散に影響するガラス転移温度の役割とMLによる解析	https://www.nature.com/articles/s41524-026-02383-5
A07	ガラス形成メカニズム|MLとSHAPを用いた共有・イオン・金属系の共通原理と設計手法	https://www.nature.com/articles/s41524-026-02385-3
A08	Self-Building Labs|AIがデジタルツインで自律構築する化学実験室の仕組みと課題	https://finance.sina.cn/tech/2026-11-08/detail-inixyrxk4290415.d.html?vt=4
A09	WorldParticle|砂からタンパク質まで統合シミュレーションするAIモデルの性能	https://bioengineer.org/unified-ai-model-accurately-simulates-diverse-physical-phenomena-from-sand-to-proteins/
A10	金属リサイクルAI|不純物を活用し高性能合金を設計する新手法とコスト削減効果	https://www.mpg.de/27038557/turning-scrap-impurities-into-enhanced-alloys?c=2249
A11	MLP Copilot|AIエージェントによるナノ粒子原子モデリングの効率化と検証手法	https://www.sflorg.com/2026/11/cosc11092601.html
A12	GPT-5.4|OpenAIとMolecule.oneによる医薬品合成の収率改善と自律実験の成果	https://news.yahoo.co.jp/articles/497f70451ca7ac00516046d5c810f102340faec8

マテリアルインフォマティクス 採用記事 全文集

出力日: 2026-11-15

採用記事数: 12 件

収録記事一覧

#01 アセチレンのエチレン水素化｜Pd触媒の850°Cにおける活性部位と性能

#02 $MoSe_2$/MoS_2ヘテロ構造｜界面配向による熱伝導率の違いと制御手法

#03 高エントロピー炭化物｜MACE-MP-0による熱力学的応答と炭素拡散の解析

#04 等変拡散モデル｜分光データから3D原子構造を推定する手法の性能と精度

#05 DFTデータ統合｜グラフニューラルネットワークによる形成エネルギーの整合化手法

#06 アモルファス合金負極｜Li拡散に影響するガラス転移温度の役割とMLによる解析

#07 ガラス形成メカニズム｜MLとSHAPを用いた共有・イオン・金属系の共通原理と設計手法

#08 Self-Building Labs｜AIがデジタルツインで自律構築する化学実験室の仕組みと課題

#09 WorldParticle｜砂からタンパク質まで統合シミュレーションするAIモデルの性能

#10 金属リサイクルAI｜不純物を活用し高性能合金を設計する新手法とコスト削減効果

#11 MLP Copilot｜AIエージェントによるナノ粒子原子モデリングの効率化と検証手法

#12 GPT-5.4｜OpenAIとMolecule.oneによる医薬品合成の収率改善と自律実験の成果

#01 アセチレンのエチレン水素化｜Pd触媒の850°Cにおける活性部位と性能

公開日 2026年11月13日　Research Square（プレプリント）



概要

Pd（パラジウム）触媒を用いた850°Cという高温下でのアセチレンからエチレンへの選択的水素化において、Pd(100)様の4回空孔サイト（4-fold hollow sites）が鍵となる活性部位であることを突き止めた。クリストバライト担持Pd触媒は、約3.0 × 10^3 μmol-C g cat^{-1} h^{-1}という高い炭化水素生成率と、低いコーク生成および無視できるレベルの失活を示した。この成果は、直接非酸化メタン変換（DNMC）後の後段工程において、中間冷却や再加熱をせずにアップグレーディングを可能にする潜在的な手法となる。

詳細

主要成果

研究チームは、実験的な触媒スクリーニング、機械学習ポテンシャル（MLP）シミュレーション、および密度汎関数理論（DFT）計算を組み合わせ、850°Cという高温環境下でアセチレンをエチレンに水素化させるPd表面の構造的特徴を特定した。特にクリストバライトを担体としたPd触媒において、炭化水素生成率が約3.0 × 10^3 μmol-C g cat^{-1} h^{-1}に達し、高いエチレン生産性と低いコーク（炭素析出物）生成、そして無視できる程度の失活という優れた性能を確認した。

技術・詳細

31種類のPd表面を対象としたMLPスクリーニングの結果、Pd(100)様の4回空孔サイトは、Pd(111)様の3回サイトよりもアセチレンを大幅に強く結合させることが判明した。また、高温エントロピー補正を加えたDFT計算により、1123 KにおいてPd(100)および4回モチーフを持ついくつかの高指数表面ではアセチレンの吸着が有利である一方、Pd(111)では吸着が不利であることが裏付けられた。なお、最大2.0%の引張歪み（Tensile strain）による影響は軽微であった。

反応経路の解析では、Pd(100)-2.0%において、C_2H_3*およびC_2H_4*への逐次的な水素化に必要な活性化自由エネルギーはそれぞれ1.03 eVおよび1.02 eVであった。これに対し、競合するC–Cカップリングや脱水素化経路の障壁はより高く、選択的にエチレンが生成されるメカニズムが示された。

背景・業界の文脈

本研究の背景には、直接非酸化メタン変換（DNMC）というプロセスがある。通常、化学プロセスでは温度帯が異なる工程間で冷却と再加熱が必要となるが、DNMCに関連する温度域でアセチレンからエチレンへの選択的水素化を実現できれば、中間工程での熱エネルギー損失を省いた効率的なダウンストリーム・アップグレーディングが可能になる。

今後の展望

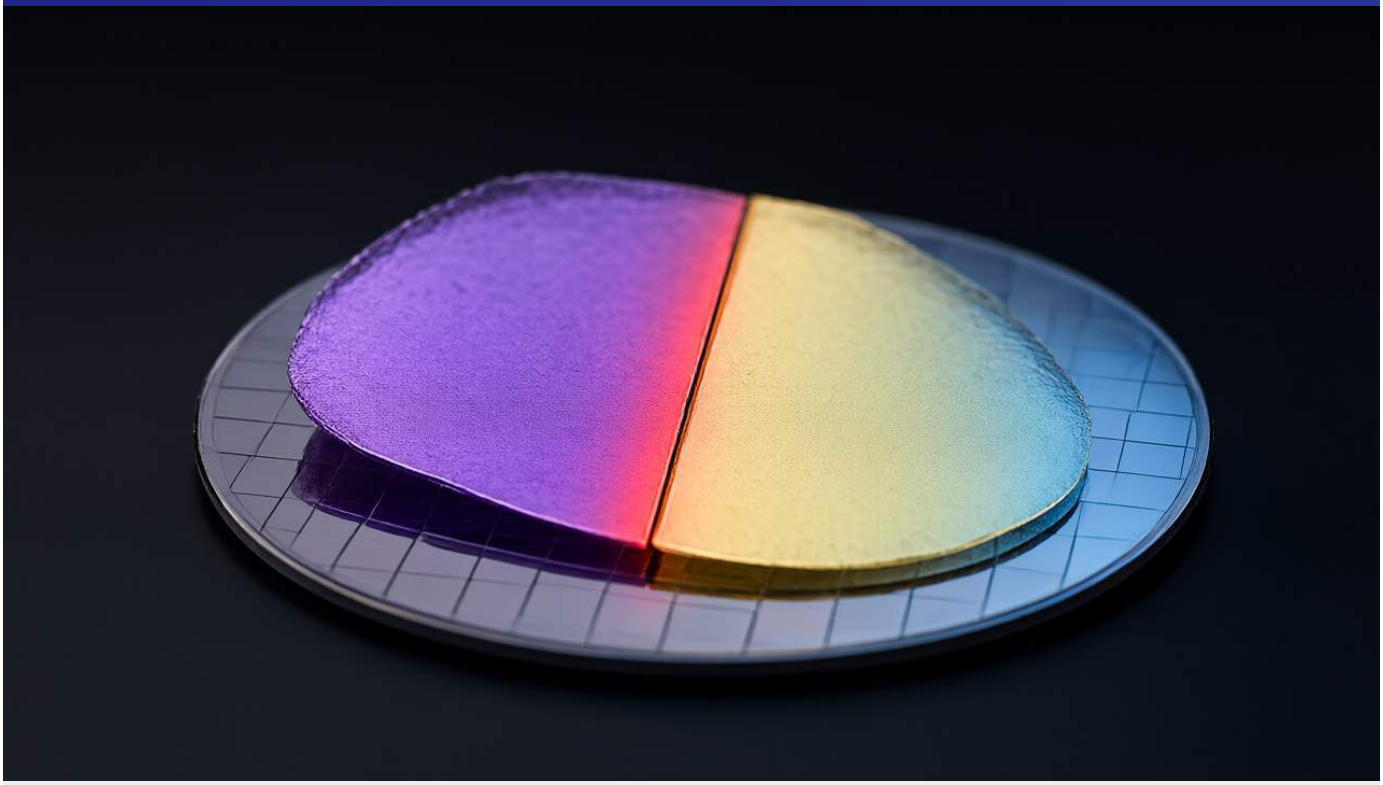
本研究は、実験的なスクリーニングにMLPによる表面解析とDFT計算を統合することで、高温反応における触媒の活性部位を効率的に特定できることを実証した。Pd(100)様の4回アンサンブルが高温でのアセチレン・エチレン変換の鍵であるという知見は、今後の高効率な触媒設計における重要な指針となると考えられる。

元記事: https://doi.org/10.21203/rs.3.rs-11376353/v1

収集日: 2026年11月15日 | 自動記事収集・翻訳システム (AI使用)

#02 $MoSe_2$/MoS_2ヘテロ構造｜界面配向による熱伝導率の違いと制御手法

公開日 2026年11月10日　Journal of Physics: Condensed Matter　イラン



概要

ラテラル$MoSe_2$/MoS_2ヘテロ構造において、界面の配向によって界面熱伝導率（ITC）が変化することが明らかになりました。室温において、アームチェア配向のITCは218 MW/m²·Kであり、ジグザグ配向の188 MW/m²·Kよりも高い値を示しています。この結果は、界面配向を制御することで次世代ナノ電子・光電子デバイスの熱放散を最適化できる可能性を示唆しています。

詳細

主要成果

ラテラル$MoSe_2/MoS_2$ヘテロ構造における界面熱伝導率（ITC）が、界面の配向（アームチェアおよびジグザグ）によって大きく異なることが判明しました。室温での測定において、アームチェア界面のITCは218 MW/m²·Kを記録し、ジグザグ界面の188 MW/m²·Kと比較して顕著に高い熱伝導性能を示すことが確認されました。また、両方の配向において、温度の上昇に伴いITCも増加する傾向にあります。

技術・詳細

本研究では、密度汎関数理論（DFT）のデータを用いて、DeePMD-kitによる深層学習原子間ポテンシャル（DLP）を構築しました。この学習済みポテンシャルは、DFTによるエネルギー、力、およびフォノン分散関係と密接に一致しており、熱輸送シミュレーションにおける高い信頼性が確認されています。このDLPを非平衡分子動力学（NEMD）シミュレーションと組み合わせることで、界面の熱特性を詳細に解析しました。

熱伝導率の差が生じる要因について、振動状態密度（Vibrational Density of States）を分析した結果、アームチェア界面においてフォノンのスペクトルオーバーラップがより大きいことが分かりました。このフォノンの重なりが大きいことが、アームチェア配向における優れた熱輸送性能の原動力となっています。

背景・業界の文脈

次世代のナノ電子デバイスや光電子デバイスの開発において、ラテラル2D遷移金属ジカルコゲナイド（TMD）ヘテロ構造における界面の熱流管理は極めて重要な課題となっています。デバイスの微細化に伴い、効率的な熱放散を実現しなければ性能劣化や故障の原因となるため、界面での熱伝導特性を精密に制御する手法が求められていました。

今後の展望

本研究で提示された深層学習を用いたフレームワークは、ラテラルTMDヘテロ構造における熱輸送研究に強固な基盤を提供します。また、界面の配向が熱伝導率を制御する有効な手段であることが特定されたため、今後はこの知見を利用して、接合部における熱放散を最適化したデバイス設計への応用が期待されます。

元記事: https://doi.org/10.1088/1361-648x/aec07d

収集日: 2026年11月15日 | 自動記事収集・翻訳システム (AI使用)

#03 高エントロピー炭化物｜MACE-MP-0による熱力学的応答と炭素拡散の解析

公開日 2026年11月12日　Journal of Physics: Condensed Matter　トルコ



概要

高エントロピー炭化物（Hf,Zr,Ta,Nb,Ti）Cにおける化学的無秩序が、熱機械的応答や炭素輸送に与える影響が解析されました。MACE-MP-0ポテンシャルを用いた検証により、熱膨張はほぼ加算的である一方、弾性軟化はモード選択的に起こることが判明しました。本研究は、静的な障壁アンサンブルだけでは有限濃度の炭素輸送を十分に解釈できないことを示しています。

詳細

主要成果

高エントロピー炭化物（Hf,Zr,Ta,Nb,Ti）Cにおける有限温度での無秩序物理を解析した結果、熱膨張はほぼ加算的であり、弾性軟化はモード選択的に進行することが明らかになりました。具体的には、19種類の組成における熱膨張係数は5.4–6.7 × 10^{-6} K^{-1}であり、これは二成分系の混合則の±5%以内に収まっています。また、2000 Kまでの弾性軟化において、C11は18–37%減少するのに対し、C44の減少は3–7%に留まるというモード選択的な挙動が確認されました。

技術・詳細

本研究では、未修正のMACE-MP-0ポテンシャルを用いて検証が行われ、その転移性の限界についても明示されています。解析の結果、二成分系の光学フォノンは密度汎関数摂動理論（DFPT）よりも4–16 meVソフトであり、多成分系の格子定数は密度汎関数理論（DFT）の値を0.14–0.31%上回りました。また、二成分系の融点推定値は実験値から−21%から+35%の乖離が見られました。

組成パスにおける融点推定については、グループIVリッチからグループVリッチへ移行するにつれ、名目上の二相融点推定値は約1000 K上昇します。二成分系の誤差を線形に重み付けした場合、同じ方向に約460 Kの乖離が残りますが、この感度推定だけでは未測定の多成分バイアスに対する堅牢性を確立するには至っていません。

炭素拡散に関しては、20個の静的な単一空孔炭素移動パスの平均障壁が2.53 ± 0.40 eVであったのに対し、炭素空孔率12.5%での分子動力学（MD）アレーニウス障壁は1.36–1.54 eVと低くなりました。これはサンプリングされたアンサンブルの最小値である1.89 eVを下回る数値です。DFTによる比較では、MACEによる障壁の過小評価は1.22 eVであることが判明しました。

背景・業界の文脈

岩塩構造を持つ高エントロピー炭化物では、化学的な無秩序によって不均一な局所環境が生じます。この環境の違いが、集団的な熱機械的応答や、活性化を伴う炭素の輸送プロセスに異なる影響を与えると考えられています。本研究は、機械学習ポテンシャルであるMACE-MP-0を用いて、これらの複雑な物理現象を定量的に評価することを目的としています。

今後の展望

本解析の結果は、静的な障壁アンサンブルのみでは、有限濃度における炭素輸送の解釈を決定できないことを示しています。局所環境の影響、空孔濃度、相関運動、セルサイズ、あるいは拡散統計の限界といった要因を切り分ける必要があり、今後の炭素輸送メカニズムの解明に向けた課題が明確になりました。

元記事: https://doi.org/10.1088/1361-648x/aec1af

収集日: 2026年11月15日 | 自動記事収集・翻訳システム (AI使用)

#04 等変拡散モデル｜分光データから3D原子構造を推定する手法の性能と精度

公開日 2026年11月12日　npj Computational Materials　日本



概要

等変拡散モデルを用いて、近端分光データ（ELNES/XANES）からサイト固有の3D原子構造分布を直接生成する手法が開発されました。Si–O結晶で訓練した結果、結合距離の平均絶対誤差（MAE）は約0.04 ÅとEXAFSに匹敵し、配位数精度では誤差2.0%未満とEXAFS（約20%）を大幅に上回る性能を達成しています。これにより、従来の1次元的な径方向分布解析の限界を越え、結合角を含む完全な3D幾何構造の再構築が可能になります。

詳細

主要成果

東京大学生産技術研究所などの研究チームは、等変拡散モデル（equivariant diffusion model）を用いることで、分光データから3D原子座標を逆推定する生成的なアプローチを開発しました。本モデルは、近端分光データ（ELNES/XANES）からサイト固有の3D構造分布を直接生成することを可能にします。特にSi–O結晶を用いた検証において、結合距離のMAE（平均絶対誤差）は約0.04 Åとなり、従来のEXAFS（広域X線吸収微細構造）解析と同等の精度を実現しました。さらに、配位数の精度においては誤差が2.0%未満に抑えられており、EXAFSの誤差（約20%）と比較して極めて高い精度を達成しています。

技術・詳細

本手法の最大の特徴は、従来の1次元的な径方向分布解析では困難であった、結合角を含む完全な3D幾何構造を再構築できる点にあります。モデルは結晶格子のみを用いて訓練されましたが、組成に依存した転移性を持ち、非晶質（アモルファス）システムへの適用においても有望な結果を示しています。また、実験的な検証として、α-quartz（α-石英）、cristobalite（クリストバライト）、stishovite（スティショバイト）のO K-edgeスペクトルに適用し、実験データに対する実用性を実証しました。

背景・業界の文脈

分光データから3D原子座標を抽出することは、長年の課題である「逆問題」として扱われてきました。従来の手法であるテンプレートマッチングは、あらかじめ定義された参照構造から最適なものを検索して取得する手法でしたが、本研究の生成的アプローチは、学習された構造空間の中から候補となる3D構造を探索することを可能にします。これにより、既存のデータベースに依存しない、より柔軟な構造推定が可能になります。

今後の展望

本研究は、分光データからの定量的かつ自動的な3D局所構造推論に向けた重要な一歩となります。学習済みの構造空間を活用することで、従来のテンプレートマッチングを超えた構造解析が可能となり、材料科学における構造解析の自動化と高精度化に寄与することが期待されます。

元記事: https://www.nature.com/articles/s41524-026-02384-4

収集日: 2026年11月15日 | 自動記事収集・翻訳システム (AI使用)

#05 DFTデータ統合｜グラフニューラルネットワークによる形成エネルギーの整合化手法

公開日 2026年11月10日　npj Computational Materials　中国



概要

グラフベースの転移学習を用いて、異なる密度汎関数理論（DFT）計算間で生じる形成エネルギーの系統的な誤差を解消する手法が開発されました。GPTFFモデルを採用し、PBE計算によるエネルギーをr²SCANレベルの精度に変換したところ、平均絶対誤差（MAE）14.3 meV/atomを達成しています。これにより、膨大な既存のPBEデータセットを高精度なr²SCAN標準へアップグレードし、材料AIモデルの規模と品質を大幅に向上させることが可能になります。

詳細

主要成果

中国科学院などの研究チームは、異なるDFT計算手法の間で発生するエネルギー尺度の不整合を解消し、データを統合するグラフニューラルネットワーク（GNN）アプローチを開発しました。本手法を用いたGPTFFFモデルは、従来のPBE（Perdew-Burke-Ernzerhof）によるエネルギー計算結果を、より高精度なr²SCAN（strongly constrained and appropriately normed）レベルの精度に変換することに成功しました。その際の平均絶対誤差（MAE）は14.3 meV/atomであり、比較対象となったCHGNetの18.2 meV/atomを上回る精度を実現しています。

技術・詳細

本研究では、MatPESデータベースから抽出した380,190件の構造的にペアリングされたPBEおよびr²SCANのエントリを活用し、構造を認識可能なグラフニューラルネットワークをトレーニングしました。このモデルは、異なる汎関数間で生じるエネルギーの残差（差分）を予測することで、不整合なエネルギー尺度を整合（アライン）させます。具体的には、以下のプロセスでデータのアップグレードを行います。

- 構造情報を保持したグラフベースの転移学習の適用
- GPTFFFモデルアーキテクチャによる、PBEエネルギーからr²SCAN精度への変換
- クロス汎関数間のエネルギー残差の予測と補正

背景・業界の文脈

平面波実装などのDFT計算では、交換相関汎関数の選択、運動エネルギーカットオフ、擬ポテンシャル、分散補正などの設定によって、原子あたり数十から数百meVの系統的な形成エネルギー誤差が生じます。例えばMatPESデータセットの検証では、同一構造であってもPBEとr²SCANの間で平均107 meV/atomのエネルギー乖離があることが示されています。このような手法依存の不整合は、異なるソースから得られたDFTデータの統合を妨げる「データサイロ」の障壁となっており、堅牢な材料AIモデルを訓練するためのデータセットの規模と品質を制限する大きな要因となっていました。

今後の展望

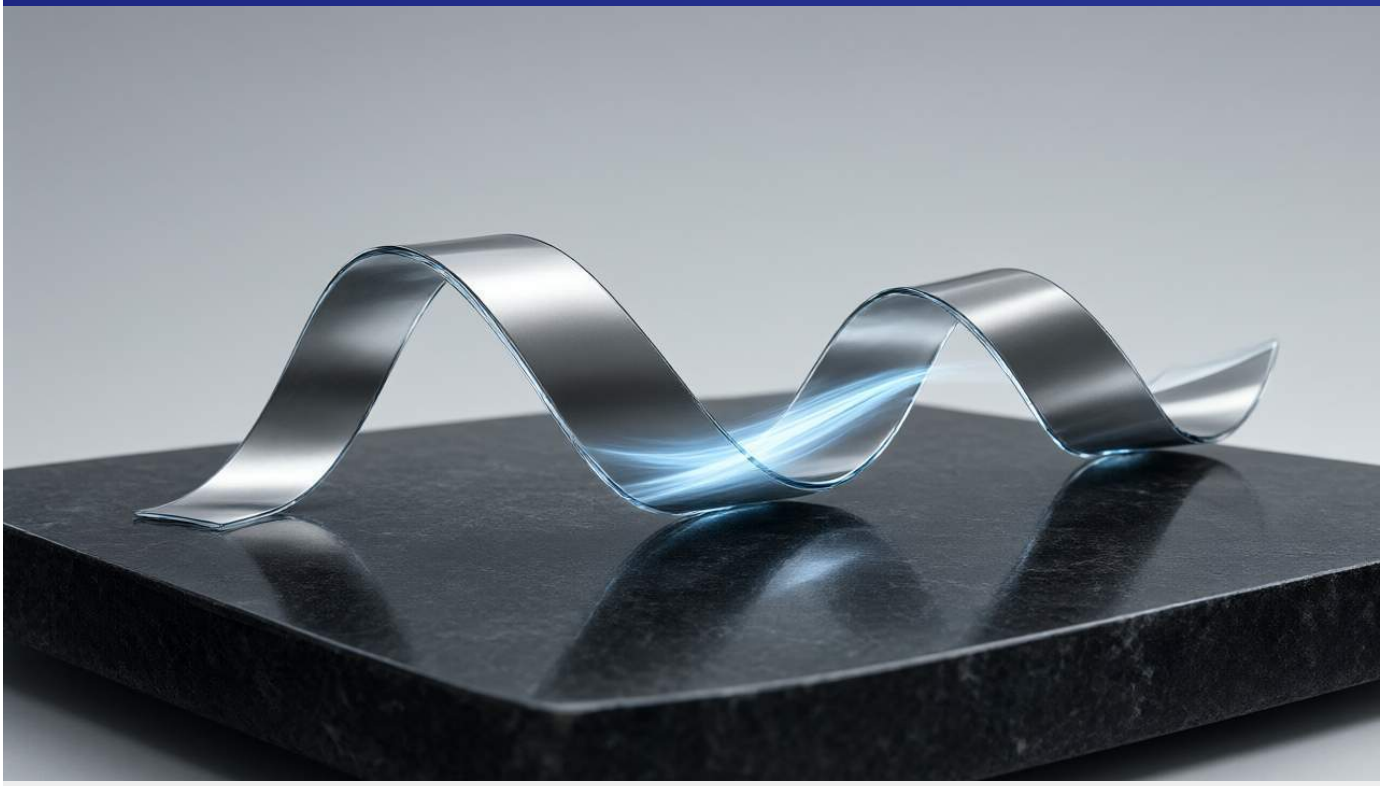
この汎用的なアプローチにより、過去に蓄積された膨大なレガシーPBEデータセットを高精度なr²SCAN標準へと効率的にアップグレードすることが可能になります。これにより、相安定性、バッテリーの電圧プロファイル、反応熱力学などの信頼性の高い予測が可能になります。また、マルチソースのDFTデータを統合することで、高性能な材料基盤モデルの開発を加速させることが期待されます。

元記事: https://www.nature.com/articles/s41524-026-02366-6

収集日: 2026年11月15日 | 自動記事収集・翻訳システム (AI使用)

#06 アモルファス合金負極｜Li拡散に影響するガラス転移温度の役割とMLによる解析

公開日 2026年11月07日　npj Computational Materials　中国



概要

機械学習ポテンシャルを用いた解析により、アモルファス合金負極におけるリチウム（Li）拡散挙動を決定づける重要な記述子として「ガラス転移温度（Tg）」を特定しました。Tg以上では液体のような急速なLi移動が見られる一方、Tg以下では局所的な緩慢な移動に留まることが判明しています。この組成・局所構造・拡散の相関関係を明らかにすることで、Tgを低減させる合金組成の最適化という、次世代電池負極開発への理論的指針が提示されました。

詳細

主要成果

研究チームは、機械学習（ML）を用いてLi–Si/Ge/Sn/Pb系の高精度なポテンシャルを構築し、アモルファス合金負極におけるリチウム拡散係数（D Li）を調査しました。その結果、D LiはLi含有量と温度の上昇に伴って増加することが示され、これは実験的な傾向と一致しています。特に、従来の高温データからのアレニウス外挿による推定値は、室温での直接シミュレーションから得られたD Liよりも1〜2桁分過大評価されることが明らかになりました。この傾向は、特にLi含有量の少ない相において顕著に現れます。

技術・詳細

本研究では、拡散挙動の変化を制御する鍵となる指標として「ガラス転移温度（Tg）」を特定しました。Tgを境界として、システムは以下の2つの異なるダイナミクスを示します。

- Tg以上：構造再編を伴う液体のようなダイナミクスを示し、Liが急速に移動する。
- Tg以下：構造緩和が遅いガラスのようなダイナミクスを示し、Liの移動は局所的に制限される。

3つのダイナミクス解析を用いた検証により、Li含有量の少ない相ではLiの局在化が強く緩和が遅いことが分かりました。対してLi含有量の多い相では、変位範囲が広く緩和が速いことが確認されました。これにより、Tgをまたいで、ケージに閉じ込められた局所的なLi運動から、より活性で広範囲なLi変位へと段階的に移行するメカニズムが裏付けられました。

背景・業界の文脈

急速充電が可能なバッテリーを実現するためには、レート性能とサイクル安定性を向上させることが不可欠であり、そのためにはアモルファス合金負極におけるLi拡散の理解が極めて重要です。しかし、アモルファス相が関与する構造進化は非常に複雑であるため、これまで原子レベルでの拡散メカニズムを明確にすることは困難とされてきました。

今後の展望

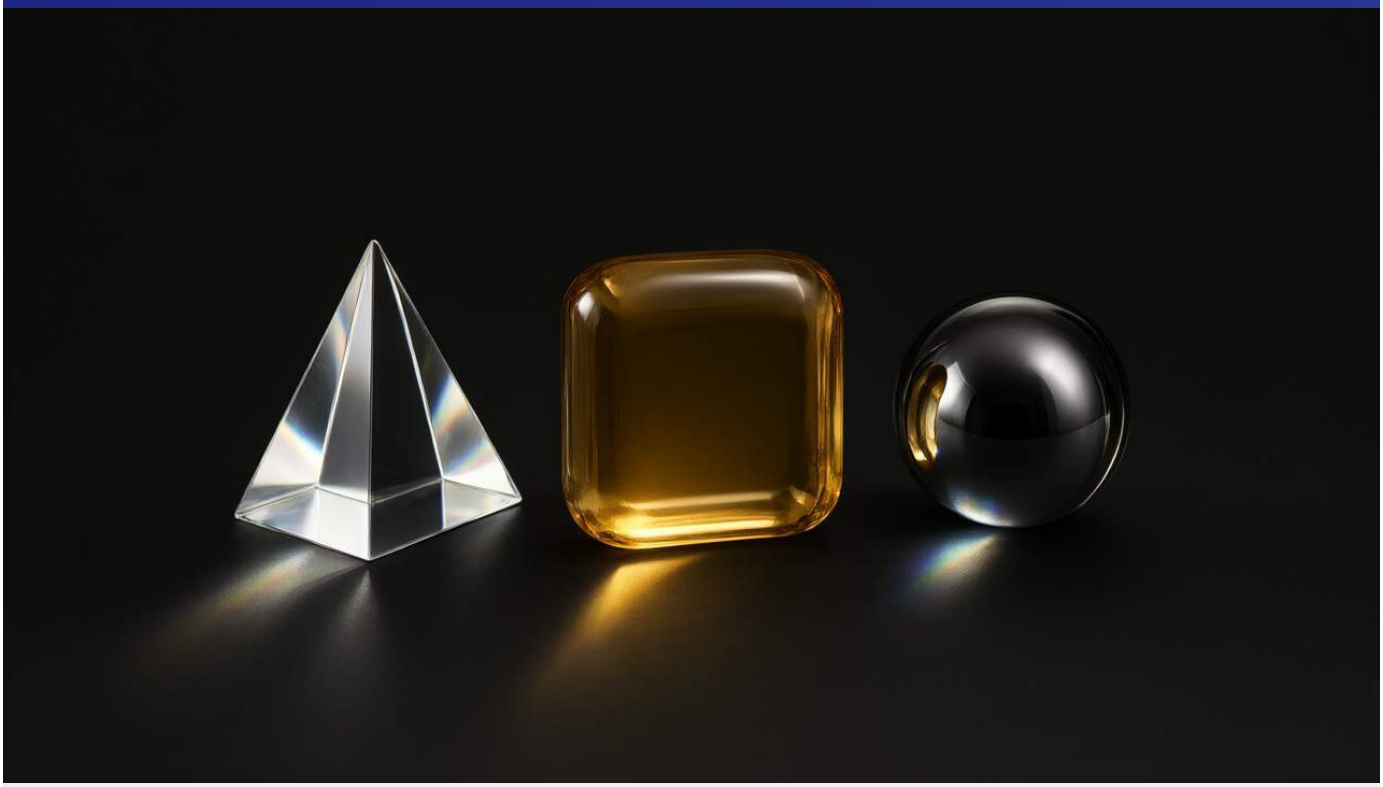
本研究によって「組成ー局所構造ー拡散」の関係性が確立されました。この知見に基づき、合金組成を最適化してTgを低減させることができれば、Liの輸送効率を改善できる可能性があります。これは、次世代の高性能な電池負極を開発するための重要な理論的ガイドラインになると期待されています。

元記事: https://www.nature.com/articles/s41524-026-02383-5

収集日: 2026年11月15日 | 自動記事収集・翻訳システム (AI使用)

#07 ガラス形成メカニズム｜MLとSHAPを用いた共有・イオン・金属系の共通原理と設計手法

公開日 2026年11月06日　npj Computational Materials　中国



概要

共有結合、イオン結合、金属結合の異なるネットワークを横断し、ガラス形成の普遍的かつシステム固有の物理化学的フレームワークが構築されました。成功例に偏らない78,889件の組成データを用いたXGBoostモデルにより、89.6%の分類精度を達成し、組成の不均一性がアモルファス状態を安定化させる「フラストレーション反転」という現象を定量的に明らかにしました。これにより、材料系を問わず機能性ガラスを設計するためのデータ駆動型アプローチが確立されました。

詳細

主要成果

共有結合、イオン結合、金属結合という異なる結合特性を持つガラス系において、ガラス形成を支配する普遍的なメカニズムと、それぞれの系に固有のメカニズムが解明されました。研究チームは、成功したガラス組成に偏らない78,889件の組成データセットを構築し、機械学習（ML）を用いて分析を行いました。その結果、4つのガラスファミリーが共通の「フラストレーション（構造的な不整合）」メカニズムを共有していること、そしてその相対的な重みが結合特性に応じて体系的に再分配されることが示されました。

技術・詳細

本研究では、Magpieデータベースから得られた元素特性行列を用いて各組成をエンコードし、スケーラブルなXGBoostフレームワークを構築しました。このモデルは、全ガラスデータセットにおいて89.6%という高い分類精度を達成しており、未知の元素置換や高次元空間への外挿においても堅牢な汎化性能を示しています。

さらに、SHAP（Shapley Additive Explanations）分析を用いることで、以下の知見が得られました。

- **フラストレーション反転（Frustration Inversion）：** 支配的な記述子が有界かつ非単調な依存性を示す現象です。組成の不均一性はアモルファス状態を安定化させますが、そこにはファミリー固有の閾値が存在し、ネットワークの剛性が低下するほどその閾値は狭まります。これにより、「混乱の原理（Confusion Principle）」に定量的な境界線が与えられました。
- **構造的予測因子：** BCC（体心立方格子）多形を参照した元素記述子が、ガラス化への構造的嗜好性をエンコードする組成レベルの予測因子として特定されました。

背景・業界の文脈

これまで、ガラス形成のモデルは特定のガラスファミリーに限定されていたり、あるいは既にガラス化に成功した組成に強く偏ったデータに基づいたりすることが一般的でした。そのため、異なる結合系を横断して適用できる統一的な物理化学的フレームワークを確立することは、材料科学における根本的な課題となっていました。

今後の展望

本研究で得られた結果は、アモルファス安定性に関する系横断的な基礎を築くものです。データ駆動型のルートを通じて、特定の材料系に縛られることなく、目的の機能を持つガラスを効率的に設計することが可能になると期待されます。

元記事: https://www.nature.com/articles/s41524-026-02385-3

収集日: 2026年11月15日 | 自動記事収集・翻訳システム (AI使用)

#08 Self-Building Labs｜AIがデジタルツインで自律構築する化学実験室の仕組みと課題

公開日 2026年11月08日　新浪科技（DeepTech深科技）　中国



概要

多倫多大学などの研究チームが、AIが自律的にデジタルツインを構築し、物理的な化学実験を完結させる「Self-Building Labs（SBL）」を提案した。本システムは、AIが研究目標に応じて不足している設備や操作スキルを特定し、仮想環境でテストした上で実機に適用させる。これにより、従来の自動化ラボ（SDL）が抱えていた「導入時の設備構成に依存する」という限界を突破し、AIによるラボ能力の動的な拡張が可能になる。

詳細

主要成果

多倫多大学、Vector Institute、Acceleration Consortium、CIFAR、およびNVIDIAの研究チームは、AIが自律的に実験環境を構築し、物理的な化学実験を実行するフレームワーク「Self-Building Labs（SBL）」を論文で発表した。本システムは、硫化鏑量子点（CdS QDs）の合成実験において、液体処理ロボット、機械アーム、光学検出装置を協調させ、試剤調製からサンプル転送、光学測定までの一連のプロセスを完結させた。特に、人間が事前に定義しなかった複雑な動作（サンプルプレートの再把持など）をAIが自律的に計画し、実行した点が大きな成果である。

技術・詳細

SBLの核心は、物理的なラボを仮想空間に再現する「デジタルツイン」と、3つの専門AIエージェントの連携にある。まず、写真や設備モデルからデジタルツインを構築し、NVIDIA Isaac Simを用いてロボットの動作をシミュレーションする。制御は以下の3つのエージェントが担う。

- **Scientific Agent**：研究目標を理解し、専門知識に基づいた具体的な実験ステップへ変換する。
- **Twin Agent**：実験方案を現在の設備で実行可能な具体的指令に変換し、不足している能力があればデジタルツイン上で開発・テストする。
- **Safety Agent**：仮想環境で潜在的な危険を探索し、衝突や試剤の漏出を防ぐ安全ルールを生成する。

実証実験では、236行のPythonプログラムを生成し、ミリ単位の精度が求められるプレートの転送や装填を完結させた。シミュレーションの誤差を補うため、視覚情報や力・トルクセンサのフィードバックを用いたリアルタイム調整を組み込んでいる。

背景・業界の文脈

従来の自駆動ラボ（SDL）は、設計・製造・テスト・分析（DMTA）のサイクルを自動化していたが、その能力は導入時に整備された設備とプログラムの範囲内に限定されていた。新しい設備を導入したり操作を変更したりするには、エンジニアによる手動のプログラミングと調整が必要であり、研究ニーズへの追従に時間がかかるという課題があった。また、計算化学の分野ではすでにAIエージェントによる自動化が進んでいるが、物理的な相互作用を伴う実実験の自動化は依然としてハードルが高い状況にある。

今後の展望

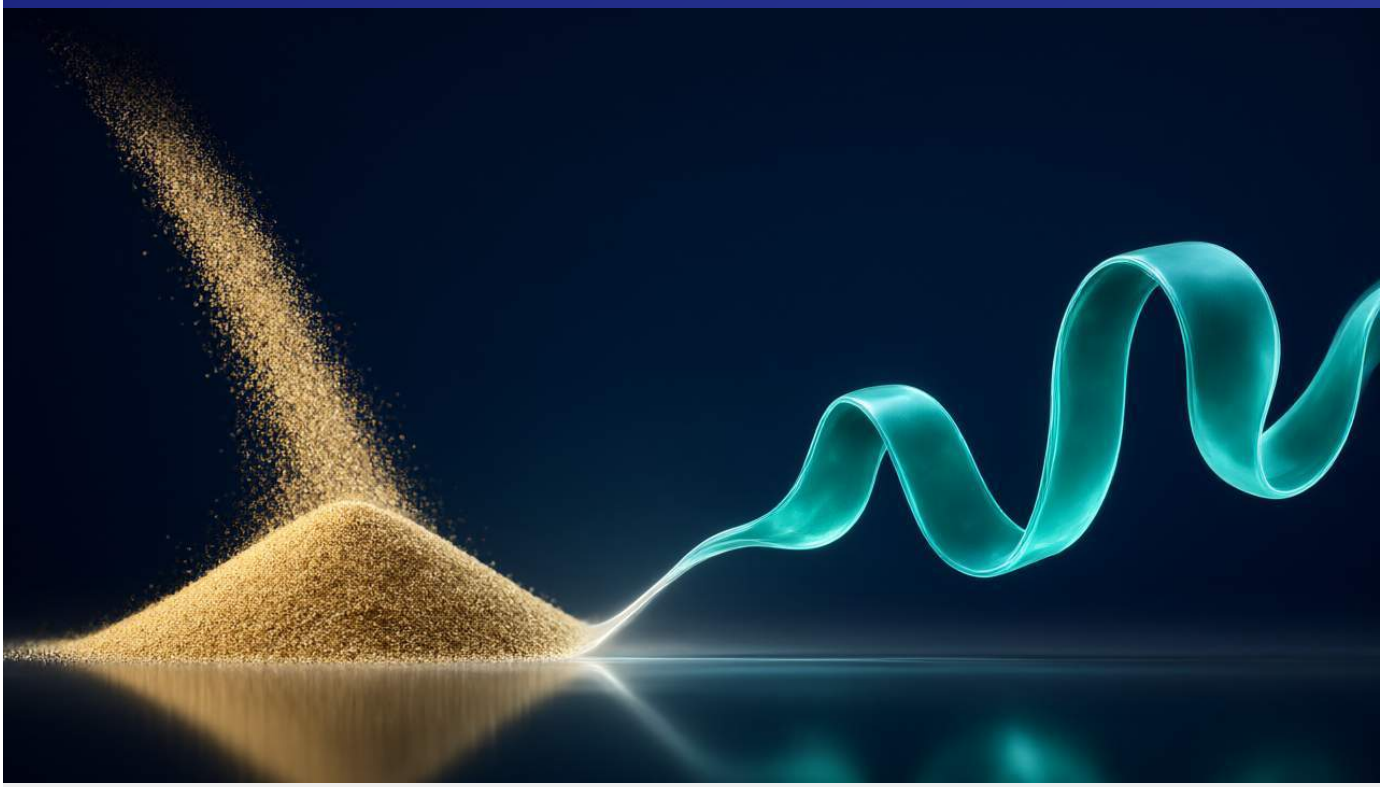
研究チームは、SBLを「横方向」と「縦方向」に拡張することを目指している。横方向には、フロー光化学や高速液体クロマトグラフィー（HPLC）など、より多様な装置への適応を推進する。縦方向には、単一の実験台を超え、ロボットが建物内の異なるフロアを移動してリソースを調度する大規模な実験空間の構築を構想している。さらに、AIが研究ニーズに合わせてカスタム設備を設計し、3Dプリンティングで製造して導入するという、完全な自律的能力拡張の実現を目指している。

元記事: https://finance.sina.cn/tech/2026-11-08/detail-inixyrxk4290415.d.html?vt=4

収集日: 2026年11月15日 | 自動記事収集・翻訳システム (AI使用)

#09 WorldParticle｜砂からタンパク質まで統合シミュレーションするAIモデルの性能

公開日 2026年11月14日　BIOENGINEER.ORG　アメリカ



概要

MITとブリティッシュコロンビア大学などの研究チームが、多様な物理現象を単一のアーキテクチャでモデル化できる深層学習システム「WorldParticle」を開発した。粒子を離散的な点として追跡することで、砂の崩落からタンパク質の折り畳みまでを同一フレームワークでシミュレーション可能にする。これにより、従来は物理現象ごとに個別の専用ソルバーを使い分ける必要があった断片的な手法を統合し、計算速度の劇的な向上を実現した。

詳細

主要成果

WorldParticleは、変形可能な固体、粒状物質、タンパク質構造を含む6つの異なる物理現象において、従来の数値シミュレーション手法よりも高い精度を実証した。特に粒状物質のテストでは、従来のベースライン手法では粒子が不自然に空中に浮遊するケースがあったのに対し、本モデルは物体が安定した山状に崩落する様子を正確に再現した。また、タンパク質の構造変化のシミュレーションにおいては、従来の数値ソルバーと比較して約100倍の高速化を達成している。

技術・詳細

本システムは、複雑な物体を数千から数百万の3次元的な点（粒子）に分解する「ラグランジュ表現」を採用している。ChatGPTのようなニューラルネットワーク構造に着想を得ており、テキストの単語予測ではなく、粒子の空間的な移動と物理状態を時間ステップごとに予測する仕組みとなっている。具体的には、粒子の3次元座標と物理特性を入力し、1秒刻みの次のフレームにおける位置と特性を出力する。

物理的な挙動の精度を高めるため、シミュレーションの各ステップにおいて外部からの力と内部物理システムを分離して処理する手法を導入した。例えば、波が防波堤に衝突するシナリオでは、まず衝撃力を分離して初期軌道を計算し、その後に外部力を再統合して材料挙動を調整する。これにより、学習データに含まれていない未知の材料や環境条件に対しても効果的に汎用化させることが可能となった。

また、数百万点に及ぶ粒子の相互作用計算による計算負荷（ボトルネック）を解消するため、粒子の微細な物理的詳細を維持したままデータを圧縮する「粒子マージ技術」を実装し、処理効率と物理的忠実度のバランスを最適化した。

背景・業界の文脈

従来の計算アプローチでは、流体力学には流体の支配方程式に基づいたソルバーを、タンパク質の折り畳みには別の計算式を用いたソルバーを、というように、物理領域ごとに個別の手書きコードによる数値ソルバーを選択し、ゼロから構築する必要があった。このような分野ごとの断片化されたツール群に依存していたため、複数の物理現象が相互に作用する複雑な系のシミュレーションは困難であった。

今後の展望

単一のアーキテクチャで複数の物理領域を統合したことで、これまで別々のツールを必要とした「マルチフィジックス（多重物理）」の相互作用をシミュレーションできるようになった。具体的には、貯蔵タンク内の弾性バルブに油が揺れて圧力をかけるといった、流体と変形可能固体の相互作用や、ソフトロボットのマニピュレーターが土壌や砂に接触した際の挙動解析への応用が期待される。研究チームは今後、ソフトロボットによる操作など、さらに複雑な現象への拡張を目指している。

元記事: https://bioengineer.org/unified-ai-model-accurately-simulates-diverse-physical-phenomena-from-sand-to-proteins/

収集日: 2026年11月15日 | 自動記事収集・翻訳システム (AI使用)

#10 金属リサイクルAI｜不純物を活用し高性能合金を設計する新手法とコスト削減効果

公開日 2026年11月10日　Max-Planck-Gesellschaft　ドイツ



概要

機械学習を用いて金属スクラップに含まれる不純物を積極的に活用し、高性能な合金を設計する新しいフレームワークが開発されました。ダクタイル鋳鉄を用いた検証では、17件の設計案のうち14件で強度と延性の最適な組み合わせを実現し、製造コストを8.1%削減することに成功しています。これにより、バージン材への依存を減らしつつ、環境負荷の低い持続可能な金属リサイクルが可能になります。

詳細

主要成果

国際研究チームは、金属スクラップに含まれる不純物を「不要な汚染物質」ではなく「合金元素」として積極的に活用することで、機械的特性を向上させた「ダーティ・アロイ（Dirty alloys）」を設計する機械学習戦略を開発しました。この手法を用いて設計された14種類の新しい鉄基合金は、従来の再利用鉄データセットと比較して、同等の延性において引張強度が最大15.2%向上、あるいは同等の引張強度において破断伸びが最大73.2%向上するという結果を示しました。また、スクラップにバージン材を混ぜる従来の手法よりも、製造コストを8.1%低減させています。

技術・詳細

本フレームワークの最大の特徴は、微細構造の特徴に過度に依存せず、合金組成とプロセス条件を直接、目標とする性能に結びつけた点にあります。具体的なプロセスは以下の通りです。

- **候補の生成：**ツリー探索アルゴリズムを用い、既存の合金設計をベースに、組成や温度、時間などのプロセスパラメータを定義範囲内で変化させ、新しい候補を生成します。
- **性能予測：**ニューラルネットワークモデルが各候補の引張強度と延性を予測し、強度と延性のトレードオフを改善できる組み合わせへと探索を誘導します。
- **スクリーニングと検証：**より大規模な組成・特性データセットで学習させた第2のモデルで候補を絞り込み、実際に製造・テストを行います。
- **フィードバックループ：**実験結果をデータベースに書き戻して予測モデルを更新し、最適化サイクルを回すことで、推奨精度を漸進的に向上させます。

背景・業界の文脈

世界で年間約20億トンの金属が生産されていますが、その多くは依然として一次原料に依存しています。これは産業全体の温室効果ガス排出量の推定40%、世界の総エネルギー消費の10%に寄与しており、環境負荷が極めて高い状況です。リサイクル率を高めることは環境負荷の低減だけでなく、希少で戦略的に重要な原材料の輸入依存度を下げることにも繋がります。しかし、スクラップは化学組成が不均一で不純物が含まれるため、従来はバージン材を加えて不純物を希釈して品質を維持していましたが、これはリサイクルの環境メリットを損なう要因となっていました。

今後の展望

研究チームは、モデル材料として年産1.2億トンと工業的価値の高いダクタイル鋳鉄を使用しましたが、今後はこのフレームワークをリサイクル鋼、アルミニウム、銅合金へと拡張し、輸送、エネルギー、工業製造分野への適用を広げる計画です。さらに、マルチエージェントAIシステムと自動実験プラットフォームを統合することで、合金設計からプロセス制御、結果の解釈までを自律的に行うサイクルを構築し、不純物を有益な合金元素として活用する新たな手法の発見を加速させるとしています。

元記事: https://www.mpg.de/27038557/turning-scrap-impurities-into-enhanced-alloys?c=2249

収集日: 2026年11月15日 | 自動記事収集・翻訳システム (AI使用)

#11 MLP Copilot｜AIエージェントによるナノ粒子原子モデリングの効率化と検証手法

公開日 2026年11月09日　Scientific Frontline（Tohoku University WPI-AIMR）　日本



概要

東北大学WPI-AIMRの研究チームが、人間とAIエージェントが協調して原子間相互作用のモデリングを効率化するフレームワーク「MLP Copilot」を開発しました。量子計算から得たエネルギーと力を学習し、約80回の能動学習サイクルを通じて88,833個の原子構成を収集することで、アルミニウムナノ粒子の酸化シミュレーションを実現しています。この手法は材料探索を大幅に加速させ、物理的な新知見の獲得と再利用可能な研究サイクルの構築を可能にします。

詳細

主要成果

AIエージェントを活用したマルチエージェント・フレームワーク「MLP Copilot」により、計算負荷の高い原子間相互作用のモデリングプロセスが大幅に加速されました。本フレームワークをアルミニウムナノ粒子の酸化挙動の解析に適用した結果、1,500 Kおよび2,000 Kの温度条件下において、酸化被膜（オキサイド・シェル）の変化がアルミニウムの輸送と酸化に与える影響を明らかにしました。具体的には、中程度の温度では酸化が継続しつつ材料輸送を制限する「ブリージング・モード（呼吸モード）」と呼ばれる現象が確認され、より高温域ではシェルが破裂してコアが酸素にさらされることで酸化が加速することが示されました。

技術・詳細

MLP Copilotは、計算ツールと科学的根拠を人間による監督下で橋渡しする「オートパイロット」のような役割を果たします。技術的な構成とプロセスは以下の通りです。

- **量子計算と学習：** 量子計算を基礎データとして原子のエネルギーと力を学習し、大規模シミュレーションを可能にするモデルを構築します。
- **能動学習（Active-Learning）の反復：** 約80回の反復サイクルを通じて、合計88,833個の原子構成を収集しました。不確実性の高い構成を優先的に量子計算に回し、モデルのトレーニングを最適化しています。
- **検証プロトコル：** フルスケールのシミュレーション前に、参照結果、熱力学的特性、および独立したクラスターテストを用いてモデルの妥当性を検証します。
- **人間とAIの協調ワークフロー：** AIエージェントがプロジェクト知識の整理、根拠の検索、検証計画の策定を担い、人間（研究者）がモデルの採択、展開先、結果の解釈といった最終的な科学的決定権を保持する構造となっています。

背景・業界の文脈

アルミニウムナノ粒子は膨大な化学エネルギーを蓄えていますが、表面の酸化被膜が酸素との反応を制限しています。この被膜の挙動を制御することは、エネルギー放出の最適化において極めて重要です。従来のモデリング手法では、研究者が手動で計算を選択し、メカニズムを追跡し、モデルをテストする必要があり、膨大な計算コストと工数がかかっていました。MLP Copilotは、個別の計算にAIを使う段階から、研究プロセス全体のオーガナイズにAIを活用する段階への転換を象徴しています。

今後の展望

この協調ワークフローは汎用的なフレームワークであるため、計算データや検証方法を調整することで、多様な材料システムへ適用し、再利用可能な計算モデルを迅速に生成することが可能です。また、検証済みの結果に基づいてAIが自身のツール利用法を洗練させる「再帰的自己改善（RSI）」の基礎を築くものでもあります。将来的には、AIエージェントが検証結果から学習し、計画策定やツール利用を自律的に改善し、それを人間が評価するという高度な研究サイクルの実現が期待されます。

元記事: https://www.sflorg.com/2026/11/cosc11092601.html

収集日: 2026年11月15日 | 自動記事収集・翻訳システム (AI使用)

#12 GPT-5.4｜OpenAIとMolecule.oneによる医薬品合成の収率改善と自律実験の成果

公開日 2026年11月12日　ビジネス＋IT（Yahoo!ニュース）　日本



概要

OpenAIとMolecule.oneが、AIモデルと自動化実験システムを統合した「AI科学者」により、医薬品合成におけるChan-Lamカップリング反応の収率向上に成功しました。GPT-5.4による仮説立案と自動化プラットフォーム「Maria」による1万件超の自律実験を組み合わせ、約3カ月で課題を解決しています。物理的な実験を伴う科学研究の自律化が進むことで、創薬プロセスの劇的な加速が期待されます。

詳細

主要成果

OpenAIと化学AIスタートアップのMolecule.oneは、先端言語モデル「GPT-5.4」と化学実験プラットフォーム「Maria」を統合した準自律型の研究システムを用い、医薬品開発における重要な化学反応である「Chan-Lamカップリング反応」の効率を向上させました。特に、創薬初期段階のボトルネックとなっていた1級スルホンアミドを原料とする反応において、顕著な収率改善を実現しています。

技術・詳細

本プロジェクトでは、GPT-5.4が既存の学術文献を解析して優先的に改善すべき基質を特定し、数千件の改善提案を自動生成しました。人間の化学者がこれらの提案から有望なものを選択し、特定の溶媒を回避させるなどの微修正を加えた後、自動化実験室であるMariaプラットフォームへ引き継ぐワークフローを採用しています。

Mariaは、文献調査からデータ分析までを担う専門モデル群と専用実験室で構成されており、マイクロリットル規模の超微量反応を2回のサイクルで計1万80件実行しました。この自律実験を通じて、AIは反応を妨げる要因を特定し、「TEMPO」という穏和な酸化剤を添加することで収率が向上するという仮説を実証しました。

具体的な数値データは以下の通りです。

- テストしたボロン酸の88パーセント、スルホンアミドの83パーセントで収率が向上。
- 全体の平均収率は16.6パーセントから25.2パーセントへ上昇。
- 収率が30パーセントを超える反応の割合は、15.6パーセントから37.5パーセントへ増加。

さらに、人間の化学者がフラスコ環境で手動検証を行ったところ、14の基質ペア中11ペアで向上が確認され、うち8ペアでは無添加の対照条件と比較して2倍以上の向上が見られました。

背景・業界の文脈

Chan-Lamカップリング反応は、抗がん剤、抗菌薬、高血圧治療薬など、多岐にわたる医薬品構造に頻出する「炭素と窒素の結合」を作る反応です。しかし、前述の1級スルホンアミドを原料とする場合は歴史的に収率が低く、研究開発における大きな課題となっていました。従来の人間主導のプロセスでは、こうした検証に長期間を要していましたが、今回のAI主導のアプローチではプロジェクト開始から専門家による評価までを約3カ月で完了させています。

今後の展望

本実証実験の結果は、AIが単なるデータ解析にとどまらず、物理的な実験を伴う科学研究を自律的に進行させられることを示しています。このような準自律型アプローチの進化は、プロセス化学に大きな影響を与え、産業界に構造的な変化をもたらすと予想されます。

元記事: https://news.yahoo.co.jp/articles/497f70451ca7ac00516046d5c810f102340faec8

収集日: 2026年11月15日 | 自動記事収集・翻訳システム (AI使用)